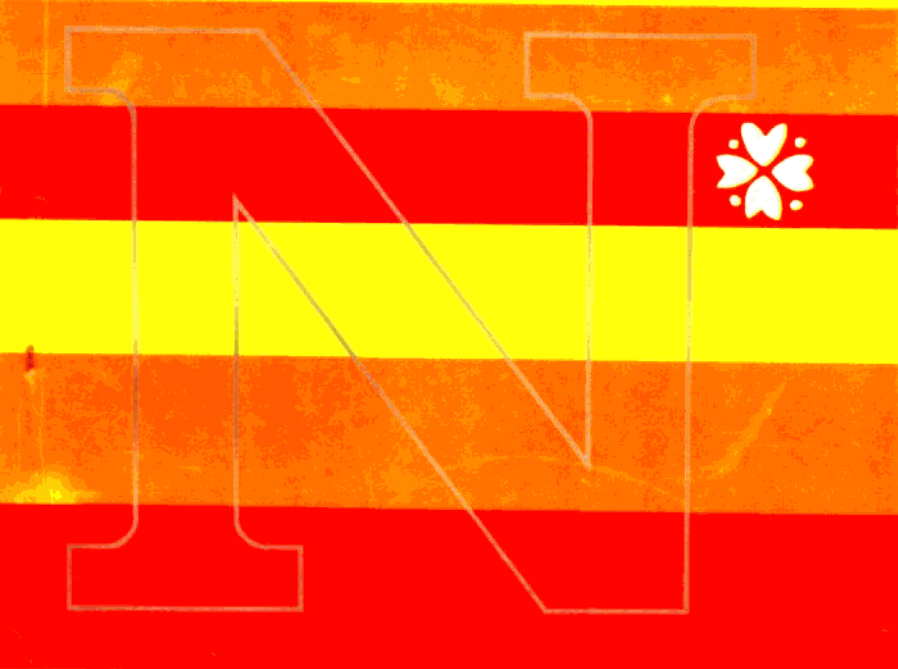


NEW TECHNOLOGY IN HYDROMETALLURGY



冶金新工艺

梅光贵 钟竹前 编著
中南工业大学出版社

湿法冶金新工艺

NEW TECHNOLOGY
IN HYDROMETALLURGY

梅光贵 钟竹前 编著

中南工业大学出版社

【湘】新登字 010 号

湿法冶金新工艺

梅光贵 钟竹箭 编著

责任编辑：秦瑞卿

中南工业大学出版社出版发行

核工业中南230研究所印刷厂印装

湖南省新华书店经销

开本：850×1168 1/32 印张：12.5 字数：319千字

1994年12月第1版 1994年12月第1次印刷

印数：0001—2000

ISBN 7-81020-723-7/TF·029

定价：15.00 元

本书如有印装质量问题，请直接与生产厂家联系解决

内 容 简 介

本书论述了重金属-MnO₂同槽电解、杂铜直接电解以及介绍了有关矿物与软锰矿直接浸出、溶液净化与金属锰、锌电解等共28篇论文，第4篇提供了有关湿法冶金重要的热力学数据。该书既有理论又有实践，内容系统而新颖，是一本对科研、教学和生产具有指导意义的专著。

目 录

第一篇 金属二氯化锰($\text{Me}\cdot\text{MnO}_2$)同槽电解的研究

.....	钟竹前 梅光贵(1)
1 铜、锌、镍-二氧化锰同槽电解的研究	(1)
2 铜-二氧化锰同槽电解的国内外动态 及新工艺过程的理论分析.....	(12)
3 铜、锰浸出、净化 $\text{Cu}\cdot\text{MnO}_2$ 同槽电解新工艺	(41)
4 铜-二氧化锰同槽电解新工艺全流程半工业性试验研究	(56)
5 $\text{Zn}\cdot\text{MnO}_2$ 同槽电解工业试验研究	(67)
6 从废电池及镀锌渣综合回收锌及二氧化锰的研究	(80)
7 氯盐溶液 $\text{Zn}\cdot\text{MnO}_2$ 同槽电解过程的研究	(95)
8 镍-二氧化锰同槽电解新工艺研究	(102)
9 镍-二氧化锰同槽电解新工艺	(112)
10 硫化锰矿与软锰矿直接浸出, $\text{Mn}\cdot\text{MnO}_2$ 同槽电解研究	(127)

第二篇 杂铜直接电解研究..... 梅光贵 钟竹前(149)

11 杂铜直接电解新工艺的探讨.....	(149)
12 黄杂铜处理新工艺研究.....	(155)
13 紫铜米直接电解半工业试验研究.....	(163)
14 空气氧化溶铜的动力学规律.....	(173)

- 15 从含铜镍锌再生金属电解废液中
分离 Ni^{2+} 与 Zn^{2+} 的新方法 (184)

第三篇 湿法冶金有关浸出、净化或电解的研究

- 梅光贵 钟竹前 (194)
16 软锰矿氧化浸出自然铜精矿的研究 (194)
17 硫化铜精矿与软锰矿同槽浸出的研究 (211)
18 锌、锰硫酸盐溶液的深度净化 (226)
19 高锰硫酸锌溶液电解金属锌研究 (236)
20 酸性条件下 ZnS 氧化浸出过程动力学的研究 (247)
21 氯盐溶液预氧化—针铁矿除铁过程的研究 (256)
22 金属锰电解过程的电化平衡 (263)
23 金属锰电解的电流效率分析 (269)
24 湿法制取活性氧化锌与化学二氧化锰新工艺研究
..... (278)
25 元素硫在 $(\text{NH}_4)_2\text{S} + \text{NH}_3$ 溶液中溶解的研究 (293)
26 软锰矿与硫铁矿直接浸出制备硫酸锰新工艺研究
..... (298)
27 用硫酸亚铁和软锰矿直接浸出生产
硫酸锰、电解金属锰及电解二氧化锰 (316)
28 用氧化锰矿混法直接浸出生产金属锰与
电解二氧化锰的新工艺研究 (320)

第四篇 有关重要的热力学数据

- 钟晖 钟少林 梅光贵 钟竹前 (326)
表 1 物质在水溶液中的热力学数据 (327)
表 2 水溶液中离解平衡的热力学数据 (328)
表 3 氨配合物的离解常数 (329)
表 4 氯化物配合物的离解常数 (332)

表 5 氟化物配合物的离解常数	(336)
表 6 碘化物配合物的离解常数	(337)
表 7 氯化物配合物的离解常数	(339)
表 8 硫脲配合物的离解常数	(341)
表 9 NH ₃ -H ₂ O 和 Cu-NH ₃ -H ₂ O 系高温平衡常数 ...	(342)
表 10 Ni-NH ₃ -H ₂ O 系高温平衡常数	(343)
表 11 Co-NH ₃ -H ₂ O 系高温平衡常数	(344)
表 12 水溶液中金属氯化物络合物的高温离解常数	(345)
表 13 矿物及有关物质的热力学性质	(346)
表 14 有关难溶化合物的 K _{sp} 值	(385)
参考文献	(387)

第一篇 金属—二氧化锰 同槽电解的研究

钟竹前 梅光贵

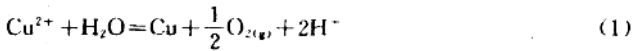
1 铜、锌、镍-二氧化锰 (Me-MnO₂) 同槽电解的研究

钟竹前 梅光贵 蔡传基 汤祖尧 刘荣义

1.1 概述

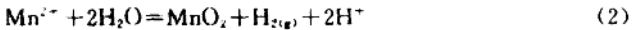
在水溶液电解生产中，通常采用两种不同的电积：

1) 用惰性阳极电解产生金属 (Cu, Zn, Ni 等)，如电解铜时，



施于阳极的电压 (1.8V) 主要耗于析氧，槽压 2V。一吨电铜电耗 > 2007 kWh，而且析氧导致严重酸雾。

2) 化工生产中用惰性阴极电解 MnO₂



施于阴极的电压主要耗于析氢，槽压达 3V。一吨 MnO₂ 电耗约 2539 kWh，析氢也导致酸雾严重，其反应如下：



为克服上述单独电解金属和单独电解 MnO₂ 中电耗大、酸雾严重等缺点，自 1980 年开始，作者进行了 Me-MnO₂ 同时电解的试验，并先后与大宝山矿、开封炼锌厂、成都电冶厂等单位合作，

完成了 Cu-MnO₂ (1982~1983), Zn-MnO₂ (1983~1985), Ni-MnO₂ (1983), Mn-MnO₂ (1984), Cd-MnO (1986) 同槽电解试验。其中 Cu-MnO₂ 和 Zn MnO₂ 同槽电解完成了半工业试验，获得了良好的试验结果。

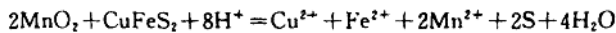
- 1) 在同一电解槽中获得两种优质产品，一级电铜、电锌和 γ 型 MnO₂，产品比 Cu : MnO₂ = 1 : 1.2, Zn : MnO₂ = 1 : 1.3;
- 2) 较之单独电解铜、锌和单独电解 MnO₂，同槽电解可节电 52.5% 和 57.5%；
- 3) 氧和氢的析出减少 83~86%。

扩大的实验室试验证实，Ni-MnO₂、Mn-MnO₂ 和 Cd-MnO₂ 同槽电解节电率也是 50~60%。本文拟结合所取得的 Me-MnO₂ 同槽电解试验结果作某些理论分析。

1.2 Me-MnO 同槽电解的新液制备

1.2.1 Cu-MnO₂ 新液的制备

文献中报导过用 MnO₂ 矿浸出硫化铜矿的方法。我国铜矿主要为黄铜矿型，用 MnO₂ 同时浸出时，其结果是需要净化大量的铁以及溶液贫铜。



为了铜铁分离，在 Cu-MnO₂ 试验中采用硫酸化焙烧 (560°C) 铜精矿，随后，将铜焙砂和碳酸锰矿浸出制液。这样由于锰矿中钙镁耗酸不仅克服了湿法炼铜中的酸膨胀现象，还解决了充分利用我国的贫锰矿资源问题。至于磨浮 Cu₂S 精矿，由于含铁低，可与 MnO₂ 矿同时浸出。

1.2.2 Zn-Mn 新液的制备

1) 硫化锌精矿和软锰矿同时浸出。这是国外一致介绍的方法。

它具有省掉焙烧工序、避免 $ZnO \cdot Fe_2O_3$ 生成等优点。试验证实，将锌精矿细磨到200目、采用L和F促进剂等条件，锌、锰浸出率在97%和96%以上，但流程中存在着去铁中和剂来源和从浸出渣中提硫等问题。

2) 碳酸锰矿和锌焙砂同时浸出。这是与开封炼锌厂合作时所采用的方法。它可充分利用该厂现有焙烧设备，解决了除铁中和剂及硫的回收问题，同时又是综合利用我国地方富饶贫锰矿资源的一个好途径。

1.2.3 Ni-Mn 新液的制备

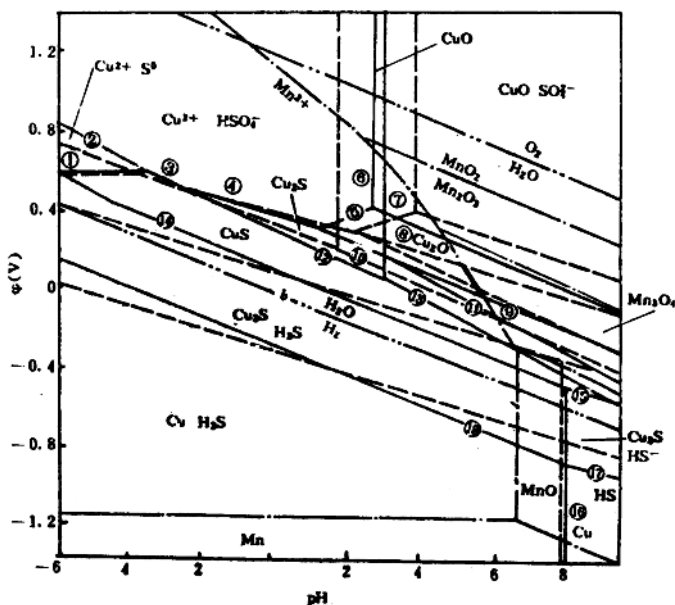


图 1.1 Cu-S-H₂O 系与 Mn-H₂O 系 φ -pH 图 ($\alpha=1$)

—Cu-S-H₂O 系 100°C ...Cu-S-H₂O 系 25°C

· · · Mn-H₂O 系 100°C

采用 Ni_3S_2 精矿与 MnO_2 矿直接浸出制取新液进行同槽电解，较之常规硫化镍阳极电解法，可省掉磨浮、熔炼等工序；较之新近芬兰出现的金属化镍锍浸出-不溶阳极电解法，可强化浸出过程（只需两段），也无需高压溶浸。

为了阐明同时浸出的热力学原理，基于文献的方法计算，绘制了 Mn^{2+} - CO_2 - H_2O 系和 Zn^{2+} - CO_2 - H_2O 系 $\lg[\text{Me}^{2+}]_1$ -pH 图，以及 $\text{Cu-S-H}_2\text{O}$ 系（图 1.1）、 $\text{Zn-S-H}_2\text{O}$ 系， $\text{Ni-S-H}_2\text{O}$ 系 φ -pH（图 1.2）。

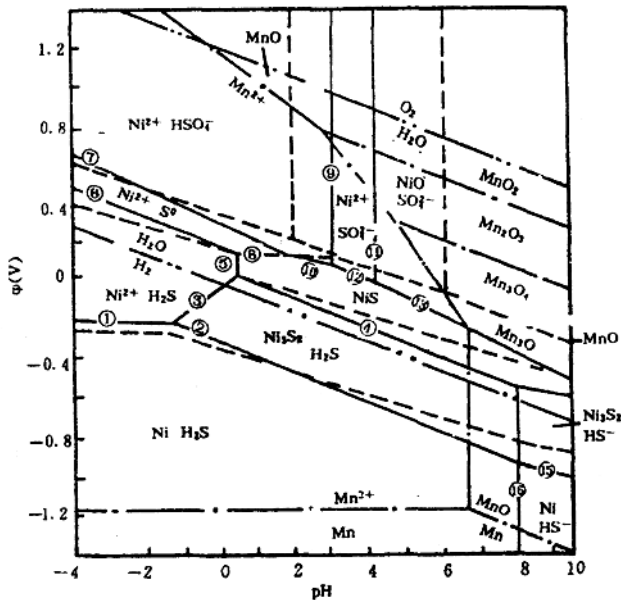


图 1.2 $\text{Ni-S-H}_2\text{O}$ 系与 $\text{Mn-H}_2\text{O}$ 系 φ -pH 图 (298K 373K)

—Ni-S-H₂O 系 100°C ··· Ni-S-H₂O 系 25°C

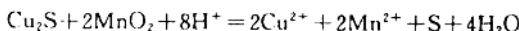
· · · Mn-H₂O 系 100°C

由图可以看出随着 CO_2 总浓度 α 的降低， MnCO_3 和 ZnCO_3

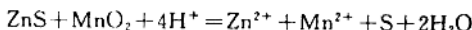
的稳定区减小，这就说明适当的浸出时间（3~4h），使CO₂尽量逸出，并保持10~15g/L终酸（pH=1~1.5），就可使锰、锌不生成碳酸盐的随渣损失。

还可以看出，Cu₂S通过沿图1.1中14线转变为CuS，ZnS直接转变为元素硫和锌离子，Ni₃S₂通过沿图1.2中4线氧化为NiS。

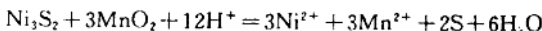
软锰矿（MnO₂）在高电位下，Cu₂S，ZnS，Ni₃S₂按如下反应被氧化浸出：



$$\varphi_{25} = 0.668\text{V}, \varphi_{100} = 0.616\text{V}$$



$$\varphi_{25} = 0.964\text{V}, \varphi_{100} = 0.916\text{V}$$



$$\varphi_{25} = 01.132\text{V}, \varphi_{100} = 1.064\text{V}$$

上述反应在25°C和100°C下均具有巨大的电化势。

试验证实，细磨Cu₂S精矿很容易与软锰矿作用，在95°C下浸出3~4h，铜浸出率可达98%以上。

对于硫化锌精矿和软锰矿的浸出，我们实测了95°C和85°C下锌的浸出率α-t的关系，证明符合缩小核模型速度公式：

$$1 - \frac{2}{3}\alpha - (1-\alpha)^{\frac{2}{3}} = k \cdot t$$

95°C下，k₉₅=0.0255h⁻¹；85°C下，k₈₅=0.0112h⁻¹。相应的反应表面活化能为90.37kJ/mol。在85°C~90°C温度范围内，反应的温度系数为2.282，表明该反应具有明显的化学反应特征，也说明采用近沸腾的浸出温度是必要的。

我们也研究了Ni₃S₂与MnO₂同时浸出的机理，表明Fe³⁺向Ni₃S₂颗粒表面扩散很快，而Fe³⁺穿过硫膜很慢，Ni²⁺和Fe²⁺穿过硫膜慢，NiS与Fe³⁺作用反应慢，但是，添加少量A型添加剂可大大加速其过程。

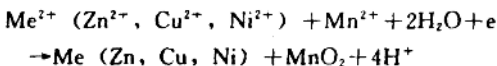
1.3 Me-MnO₂ 同槽电解

铜锰浸出采用针铁矿法除铁后的新液成分为 (g/L): Cu37, Mn45.2, FeO.18, SiO₂0.256, CaO1.10, MgO7.66, Pb0.002, As 微量, pH=3.5~4。

锌锰浸出液采用针铁矿法除铁砷, 以及先高温 (90℃), 后低温 (50℃), 两段置换后的新液成分为 (g/L): Zn80, Mn50, Cu0.0003, Co0.0014, Cd0.001, As0.00005, Sb0.00006, Fe0.001, pH=5.2。

镍锰浸出液净化后新液的成分为 (g/L): Ni55, MnO.0007, CoO.0015, CuO.003, FeO.0006, Zn0.0004, Pb0.0001。

将上列金属和锰新液进行同槽电解, 其总反应式为:



其中 Cu-MnO₂ 和 Zn-MnO₂ 同槽电解采用无隔膜电解, 而 Ni-MnO₂ 同槽电解采用隔膜电解。

1.3.1 阳极过程

在常规单独电解铜、锌生产实践中, Mn²⁺ 在阳极氧化成 MnO₂ 的电流效率小于 1%~2%, 而且得到的是水化 H₂MnO₃。因此要想得到高的电流效率, 就需要提高溶液的 pH 值和温度。

关于 MeSO₄-H₂SO₄-H₂O 系溶液中的 pH 值, 我们曾推导了如下计算公式:

$$10^{p\text{H}_0} \times 12^{-2p\text{H}} + \{1 + 10^{p\text{H}_0} \cdot [\text{SO}_4]_T - 10^{p\text{H}_0} [\text{H}^+]_T\} \times 10^{-p\text{H}} - [\text{H}^+]_T = 0 \quad (\text{A})$$

式中: 当 25℃时, pH°=1.910; 80℃时, pH°=2.738; 100℃时 pH°=3.091。

$$[\text{SO}_4^{2-}]_T = [\text{SO}_4^{2-}] + [\text{HSO}_4^-], \text{mol/kg};$$

$$[\text{H}^+] = 2 \times [\text{H}_2\text{SO}_4] \text{ mol/kg}$$

由式(A)看出,随着硫酸根总浓度 $[\text{SO}_4^{2-}]_T$ 增加,特别是温度升高,溶液中pH值是升高的。

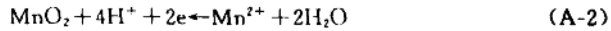
在正电极化条件下,阳极上主要进行着析 O_2 和析 MnO_2 这两个相竞争的反应:



$$\text{当 } p_{\text{O}_2} = 1 \text{ atm } (10^5 \text{ Pa}), \varphi_{25} = 1.229 - 0.059 \text{ pH}_{25}$$

$$\varphi_{80} = 1.183 - 0.070 \text{ pH}_{80}$$

$$\varphi_{100} = 1.167 - 0.074 \text{ pH}_{100}$$



$$\text{当 } [\text{Mn}^{2+}] = 1 \text{ mol/kg} \quad \varphi_{25} = 1.229 - 0.01182 \text{ pH}_{25}$$

$$\varphi_{80} = 1.194 - 0.1401 \text{ pH}_{80}$$

$$\varphi_{100} = 1.182 - 0.1480 \text{ pH}_{100}$$

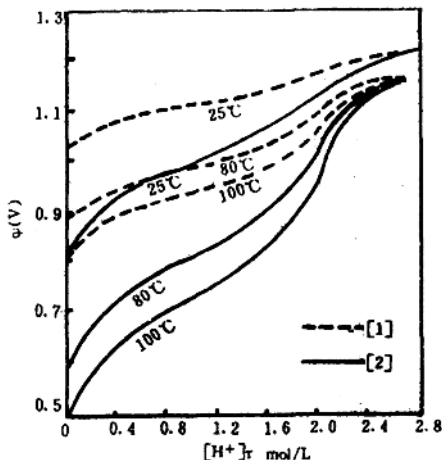


图 1.3 $\text{MeSO}_4 \cdot \text{H}_2\text{SO}_4 \cdot \text{H}_2\text{O}$ 系 $\varphi - [\text{H}^+]_T$ 图 $[\text{SO}_4^{2-}]_T = 2 \text{ mol/kg}$
 $\text{--- MnO}_2 + 4\text{H}^+ + 2e \leftarrow \text{Mn}^{2+} + 2\text{H}_2\text{O}$ $\text{— O}_2 + 4\text{H}^+ + 2e \leftarrow 2\text{H}_2\text{O}$

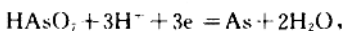
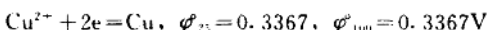
当 $[SO_4^{2-}]_1 = 2\text{mol/kg}$, 将式(A)代入(A-1)和(A-2)反应平衡电位式中, 通过计算, 我们绘制了 $\varphi[H^+]$ 图(图1.3)。

从图1.3看出, 在电解开始时 $\Delta\varphi = \varphi_{A-1} - \varphi_{A-2}$ 电位差值最大, 随着温度增加, 差值更增大, 有利于 MnO_2 的优先析出, 但随着电解的进行($[H^+]_1$ 增大)电位差值减少, 这表明要想得到高的阳极电流效率, $[H^+]_1$ 的增加受到限制。

对于阳极析出 MnO_2 机理, 中南工业大学化学系试验确定了 Mn^{2+} 氧化沉积的机理, 其反应方程为: $Mn^{2+} = Mn^{3+} + e$, $Mn^{3+} = Mn^{4+} + e$, $Mn^{4+} + 2H_2O = MnO_2 + 4H^+$, 其中第一个电子转移迟缓导致反应为不可逆性, 反应活化能为48.53kJ/mol。

1.3.2 阴极过程

1) 在铜-二氧化锰同槽电解中, 可能发生的阴极反应为:



$$\varphi_{25} = 0.2476, \varphi_{100} = 0.2436\text{V}$$

当100℃时析砷电位为:

$$\varphi_{100} = 0.2436 - 0.074pH + 0.0247\lg[HAsO_4^{2-}]$$

当100℃, $[SO_4^{2-}] = 2\text{mol/kg}$, $[H^+] = 0.4$ 时, 按式[A]计算[HAsO_4^{2-}] = 10^{-5}\text{mol/kg}, 算得的 $\varphi_{100} = 0.1313\text{V}$, 即砷不可能与铜一道析出, 为此, 我们在试验中得到了99.95~99.97%品位电铜。

2) 在Zn-MnO₂同槽电解中, 阴极上进行如下两个相竞争的反应:



$$\varphi_{25} = -0.763 + 0.02955\lg[Zn^{2+}]$$

$$\varphi_{100} = -0.757 + 0.0370\lg[Zn^{2+}]$$



当 $p_{H_2} = 1 \text{ atm} (10^5 \text{ Pa})$ 时, $\varphi_{Zn} = 0 - 0.059 \text{ pH}$

$$\varphi_{H_2} = 0 - 0.074 \text{ pH}$$

取 $[\text{SO}_4^{2-}]_T = 2 \text{ mol/kg}$, 将式(A)代入式(k 2)中得到 φ , 用 $[\text{Zn}^{2+}] = 1 \text{ mol/kg}$ 代入式(k 1)得到 φ_1 , 作出了图 1.4。

表明在低酸时,

$$[\text{H}^+]_T < 0.625 \text{ mol/kg},$$

$$\text{即 } \lg [\text{H}^+]_T = -0.24,$$

将温度由 25°C 升到

100°C, 析氢趋势减少、

但随着酸度的增大, 析

氢的趋势便大大地上升。

试验证实, 当电解

$$\text{液上升到 } [\text{H}^+]_T = 0.6 \text{ mol/kg}$$

(或 0.3 mol/kg H_2SO_4), 锌电流效

率为 92%; 当 $[\text{H}^+]_T$ 上升到 1.22 mol/kg (或

60 g/L H_2SO_4), 电流效

率为 88%。Antropov

指出, 温度升高, 氢超电位下降, 而 pH 值增大使之增加, $\Delta\eta_H / \Delta\text{pH} = 60 \text{ mV}$, 这表明使用 $[\text{SO}_4^{2-}]_T$ 值大的溶液可以进行锌的高温

电积。

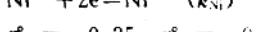
c) 在 Ni-MnO₂ 同槽电解中, 阴极上进行着两个相竞争的反应

为:



$$\varphi_{25} = -0.25, \varphi_{40} = -0.2381$$

$$\varphi_{40} = -0.2314, \varphi_{100} = -0.227 \text{ V}$$



当 $p_{\text{H}_2} = 1 \text{ atm} (10^5 \text{ Pa})$ 时:

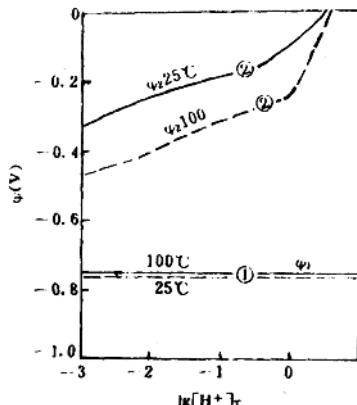


图 1.4 $[\text{H}^+]_T$ 对析锌 φ_1 和析氢 φ_2 的影响

$$\varphi_{\text{H}_{25}} = -0.0591 \text{ pH}_{25}, \quad \varphi_{\text{H}_{100}} = -0.066 \text{ pH}_{100}$$

$$\varphi_{\text{H}_{25}} = -0.7005 \text{ pH}_{80}, \quad \varphi_{\text{H}_{100}} = -0.074 \text{ pH}_{100}$$

试验新液 $\text{pH}_{25} = 4$, $[\text{SO}_4^{2-}]_T = 2 \text{ mol/kg}$, 在隔膜内由 25°C 加温到 60、80、100°C, 根据前面式(A)计算, 其相应的 pH_t 为 4.488、4.826、5.178, 反应 (k_{H_2}) 相应的电位为 $\varphi_{\text{H}_{25}} = -0.2364$ 、 $\varphi_{\text{H}_{60}} = -0.2962$ 、 $\varphi_{\text{H}_{80}} = -0.338$ 、 $\varphi_{\text{H}_{100}} = -0.3832 \text{ V}$, 从而求出各温度下析镍与析氢的电位差 $\Delta\varphi = \varphi_n - \varphi_t$ 为:

温度	C	25	60	80	100
$\Delta\varphi$	V	-0.0135	+0.0581	+0.1066	+0.1632

可见, 升高温度, φ_n 增加, φ_t 降低, $\Delta\varphi$ 值增大, 即有利于镍的优先析出, 这一点文献已有记载, 也为我们进行的 Ni-MnO₂ 同槽电解试验所证实。

Ni-MnO₂ 同槽电解试验中, 控制隔膜温度 60°C, 溶液中 H₂BO₃ 为 10~20g/l 时, 可获得光滑的电镍。

上述 Me-MnO₂ 同槽电解的综合结果如下:

Me MnO ₂	温度, C	Dc	槽电压, V	电流效率, %		Me + MnO ₂	节电率, %
				η_c	η_s		
Zn-MnO ₂	85~90	100	2.61	82.96	84.59	1+1.3	57.5
Cu MnO ₂	90	100	2.07	87.95	83.10	1+1.2	52.5
Ni MnO ₂	90(阳)60(阴)	70	2.86	97.33	95.07	1+1.45	61

1.4 试验中产品的质量

同槽电解的阴极产品电锌、电铜、电镍都达到一级品, 其阳极产品均为 Y型 MnO₂, 其中 Zn-MnO₂ 同槽电解的 Y型 MnO₂ 品位大于 91%, 制成电池连放 650min, 间放时间为 1400min, 均达到轻工部一级品标准; Cu-MnO₂ 同槽电解的 Y型 MnO₂ 相应的连放时间 689min, 间放 1005min, 但其中含铜高(经处理处为 0.01%), 宜